

(570) 3%Si 鉄における $\Sigma 31 \sim \Sigma 51$ の対応粒界について

新日本製鉄㈱ 第三技術研究所

○清水 亮

" 第二技術研究所

原勢二郎, 太田国照

1. 緒 言

前報で、1回冷延と2回冷延の3%Si鉄において、 $\Sigma 1$ から $\Sigma 29$ までの対応粒界が、どのように分布しているかを報告した。対応粒界を回転軸で整理すると、 $\Sigma 29$ までの計算で充分であるか否かについて疑問が生ずる。たとえば、 $\langle 110 \rangle$ を軸とする対応方位関係として $\Sigma 51\text{a}$ (16.10°), $\Sigma 33\text{a}$ (20.05°), $\Sigma 51\text{b}$ (22.84°)等が $\Sigma 31$ から $\Sigma 51$ までの間に存在する。また $\langle 211 \rangle$ 軸関係では、 $\Sigma 29$ までの間に $\Sigma 21\text{b}$ があるが、 $\Sigma 51$ まで拡張すれば、そこには $\Sigma 31\text{b}$, $\Sigma 35\text{a}$ が存在する。したがって、 $\Sigma 31$ 以上の対応粒界がどのように分布しているかを検討しておく必要があり、今回は、 $\Sigma 51$ まで検討を行った。

2. 方 法

(1) 回転マトリクス R^{CSL} の計算 対応方位関係を表わす回転マトリクス R^{CSL} を、 $\Sigma 31\text{a}$ から $\Sigma 51\text{c}$ まで求めた。その方法は、 R^{CSL} を

$$R^{\text{CSL}} = \frac{1}{\sum} \begin{pmatrix} u_1 & u_2 & u_3 \\ v_1 & v_2 & v_3 \\ w_1 & w_2 & w_3 \end{pmatrix} \quad \dots \dots \dots \quad (1)$$

とするとき、Diophantine equation

$$\Sigma^2 = u_i^2 + v_i^2 + w_i^2 \quad (i=1, 2, 3) \quad \dots \dots \dots \quad (2)$$

と直交関係

$$u_i u_j + v_i v_j + w_i w_j = 0 \quad (i, j = 12, 23, 31) \quad \dots \dots \dots \quad (3)$$

というよく知られた関係にしたがつた。²⁾

(2) 試料 前報と同じ1回冷延、2回冷延の3%Si鉄に加えて、熱処理条件を変えた1回冷延のものを試料とした。

3. 結 果

(1) $\Sigma 31\text{a}$ から $\Sigma 51\text{c}$ までの対応粒界の頻度をFig.1に示す。 $\Sigma 31\text{a}$ から $\Sigma 51\text{c}$ までのtotalは1回冷延、2回冷延とも2.6~3.8%の範囲に納っている。

(2) $\Sigma 33\text{b}$, $\Sigma 35\text{b}$, $\Sigma 45\text{b}$, $\Sigma 45\text{c}$, $\Sigma 51\text{a}$ の頻度は大きい。

(3) $\Sigma 3$ から $\Sigma 51\text{c}$ までの対応粒界を回転軸別に整理したものをFig.2に示す。 $\langle 211 \rangle$, $\langle 221 \rangle$, $\langle 311 \rangle$, $\langle 331 \rangle$ 等では、 $\Sigma 31$ から $\Sigma 51$ が、大きな割合を占めている。

(4) 対応粒界で結ばれた結晶粒の小集団(コロニー)を見る上でも、 $\Sigma 31$ から $\Sigma 51$ の対応粒界を考慮することが有益である。Fig.3に代表例を示す。

引用文献

- 1) 清水, 有吉, 太田, 原勢, 渡辺; 鉄と鋼, 71(1985), S554
- 2) David H. Warrington; "Grain-Boundary structure and Kinetics", A.S.M Seminar (1979)

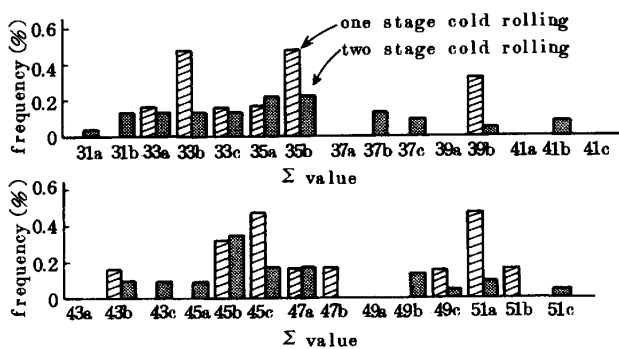


Fig.1 Frequency of coincidence boundaries which have Σ value from 31 to 51.

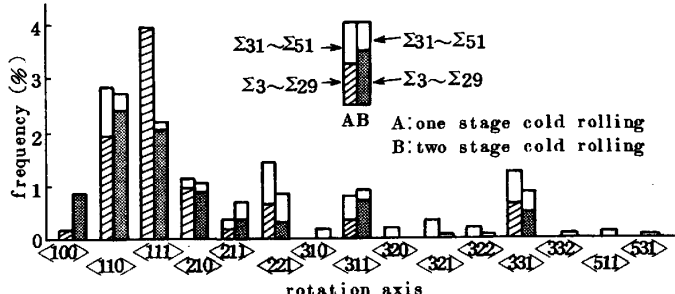


Fig.2 Frequency of rotation axes which have Σ value from 3 to 51.

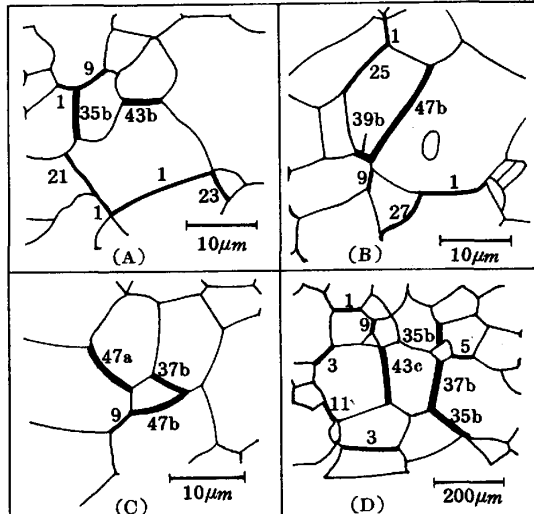


Fig.3 Distribution of coincidence boundaries.
(A), (B) and (C) are one stage cold rolling and (D) is two stage cold rolling.